

# ການຈໍາລອງພລກຮະທບຂອງສກາພບຮຽກາກໃນອາຄຕ່ອກພລິດອ້ອຍ

## Simulating the impact of future changes of climate on sugarcane production systems

ອຣຣອຊຍ ຈິນຕະເວຊ<sup>1\*</sup>

Attachai Jintrawet

**ບທຄັດຢ່ອຍ:** ຮະບບເກະຫຍາເປັນຮະບບທີ່ມີຄວາມອ່ອນໄວທ່າການເປົ່າຍັນແປລັງຕ່ອສກາພູມອາກາສ ແປບຈໍາລອງທີ່ໃຊ້ໃນ ກາຣຄາດກາຣນີ້ຂາດຂອງກາຣເປົ່າຍັນແປລັງສກາພູມອາກາສຍັງຕ້ອງໄດ້ຮັບກາຣປັບປຸງໃໝ່ມີຄວາມແມ່ນຍຳເພີ່ມຂຶ້ນ ແຕ່ດ້ວຍ ຄວາມຈໍາເປັນຕ່ອກກາຣສ້າງກລຸ່ມທີ່ເປົ່າຍັນແປລັງສກາພູມອາກາສ ເພື່ອກາຣປັບປຸງແກ່ກັບສກາພູມອາກາສເປົ່າຍັນແປລັງທີ່ຈະເກີດຂຶ້ນ ກາຣສຶກຊາ ຄັ້ງນີ້ດໍາເນີນກາຣໃນພື້ນທີ່ຈັງຫວັດຂອນແກ່ນແລະຈັງຫວັດເຊີ່ຍິ່ງແໜ່ງ ໂດຍໃຊ້ແປບຈໍາລອງອ້ອຍ DSSAT-CANEGERO ປຶ້ງໄດ້ມີກາຣທດສອບ ອຍ່າງກວ່າງຂວາງທັງໃນແລະຕ່າງປະເທດ ແລະແປບຈໍາລອງກູມີອາກາສ CCAM ພາກາຣສຶກຊາພົບວ່າປຣິມາລັນນໍ້າຝັ້ນຈາກແປບຈໍາລອງ CCAM ໃນຮະຫວ່າງປີ 2549-68 ຂອງຈັງຫວັດຂອນແກ່ນແລະຈັງຫວັດເຊີ່ຍິ່ງໃໝ່ຈະເພີ່ມຂຶ້ນວ້ອຍລະ 20 ແລະ 50 ຕາມລຳດັບ ນາກໄມ້ມີ ກາຣເປົ່າຍັນແປລັງວິທີກາຣຈັດກາຣໃຫ້ທີ່ດິນ ແປບຈໍາລອງອ້ອຍ DSSAT-CANEGERO ປຣິມາລັນພລິດອ້ອຍໄດ້ໃນຮະຫວ່າງໃກລ້າເຄີຍ ກັບພລິດອ້ອຍທີ່ຜ່ານນາ ທີ່ຈັງຫວັດຂອນແກ່ນວ້ອຍພັນຖຸ ອຸ່ກອງ 2 ແລະ K84-200 ໄດ້ພລິດອ້ອຍໃນຂ່າງ 5.4-20.1 ແລະ 5.3-19.2 ຕັນຕ່ອໄໝ ຕາມລຳດັບ ຈັງຫວັດເຊີ່ຍິ່ງໃໝ່ພັນຖຸ ອຸ່ກອງ 2 ແລະ K84-200 ໄດ້ພລິດອ້ອຍໃນຂ່າງ 3.5-24.5 ແລະ 3.5-22.5 ຕັນຕ່ອໄໝ ຕາມ ລຳດັບ ອຍ່າງໄວກີຕາມປຣິມາລັນນໍ້າຝັ້ນທີ່ເພີ່ມຂຶ້ນຈາຈະມີພລິດຕ່ອສກາພູມນໍ້າທ່ວມຂັ້ງແລະກາຣວະບາດຂອງໂວກແລະແມ່ລັງເພີ່ມຂຶ້ນ

**ABSTRACT:** Agricultural systems is one of the sensitive areas which would be influenced by the projected global warming and associated climate change. Despite uncertainties about the precise magnitude of climate change on regional scales, and assessment of the possible impacts of changes in key climatic elements on our agricultural resources is important for formulating response strategies. In this study, sugarcane crop yields in North and Northeast Thailand under future climate scenarios from the CCAM model are examined. The CCAM model predicted that during 2006-2024 the annual rainfall amount of Khon Kaen and Chiang Mai should be increased around 20 and 50% as compare to the annual rainfall during 1975-2000. The DSSAT-CANEGERO model predicted similar ranges of yield for both locations. In Khon Kaen, U-Thong 2 and K84-200 sugarcane varieties gave a yield range of 34-126 and 33-120 Mg ha<sup>-1</sup>, whereas Chiang Mai area gave a lower yield range, i.e., 22-153 and 22-141 Mg ha<sup>-1</sup>, respectively. However, one should bare in mind the predicted amount of rainfall and the relationship of more incidents of deseases insect pests.

<sup>1</sup> ກາຄວິຫາປູ້ປົກກະຕົວແລະອນຸວັກຊາສຕ່ວ ແລະຄູນຍົງຈີຍເພື່ອເພີ່ມພລິດທາງເກະຫຍາ ຄະນະເກະຫຍາສຕ່ວ ມາຮວິທະຍາລັບ ເຊີ່ຍິ່ງໃໝ່, ເຊີ່ຍິ່ງໃໝ່ 50200.

Department of Soil Science and Conservation and Multiple Cropping Center, Faculty of Agriculture, Chiang Mai University, Chiang Mai 50200.

\* Corresponding author: attachai@chiangmai.ac.th

ນາທຳ

สภาวะภัยมิอุกอาจของโลกมีการเปลี่ยนแปลงทั้งในระดับสันและระดับภูมานักวิทยาศาสตร์มีความเห็นร่วมกันว่าการเปลี่ยนแปลงหลังจากที่มีพัฒนาต้านอุตสาหกรรมมีการเพิ่มขึ้นของก๊าซเรือนกระจกชนิดต่างๆ ได้แก่ ก๊าซคาร์บอนไดออกไซด์ ( $CO_2$ ) ก๊าซมีเทน ( $CH_4$ ) ก๊าซไนโตรสออกไซด์ ( $NO_2$ ) และก๊าซคลอร์ฟูโนโรคาร์บอน (CFCs) ซึ่งเป็นการกระทำขึ้นมนุษย์ (Houghton and Yihui, 2001) มีการศึกษาผลผลกระทบของ การเปลี่ยนแปลงในด้านต่างๆ (IPCC, 2001) และการลดผลกระทบของการเปลี่ยนแปลงที่อาจจะเกิดขึ้นในอนาคต (Metz et al., 2001)

การศึกษาผลกระทบของสภาวะโลกร้อนที่มีต่อการผลิตข้อความอย่างกว้างขวางทั้งในระดับนานาชาติ (Olszyk et al., 1999) และระดับชาติ (Lal et al., 1998) ภาพรวมผลการศึกษาพบว่า ผลผลิตข้อความมีแนวโน้มลดลงจากระดับปัจจุบันร้อยละ 4 ในขณะที่ประชากรมีแนวโน้มเพิ่มขึ้นในอัตรา 1.5

การศึกษาผลกระทบของการเปลี่ยนแปลงสภาพอากาศอันเนื่องมาจากการเพิ่มขึ้นของความเข้มข้นของก๊าซเรือนกระจกที่มีต่อระบบเกษตร มีผู้สนใจและให้ความสนใจอย่างมาก

แนวทางที่หนึ่ง เป็นการสมมุติสถานการณ์โดยการกำหนดให้อุณหภูมิอากาศเพิ่มขึ้นจากระดับปัจจุบันเป็น  $+1^{\circ}\text{C}$  หรือ  $+2^{\circ}\text{C}$  หรือ  $+4^{\circ}\text{C}$  พร้อมกับและ

เพิ่มขึ้น/ลดลงของปริมาณน้ำฝนร้อยละ 10 โดยการใช้แบบจำลองระบบการผลิตพืชแต่ละชนิดตามที่นักวิจัยต้องการศึกษาซึ่งเป็นขั้นตอนพื้นฐานแต่ไม่ได้นำอิทธิพลของ radiative forcing และการเปลี่ยนแปลงด้านภัยภาพของบรรยากาศ เช่น การเพิ่มขึ้นหรือลดลงของปริมาณก๊าซcarbon dioxide

แนวทางที่สอง ใช้แบบจำลองสมมุติ-ดินบรรยากาศ  
ในการจำลองสภาพอากาศในอนาคตซึ่งได้มีการพัฒนา  
แบบจำลอง (Table 1) รวมเรียกว่า General Circulation  
Models (GCMs) ซึ่งได้รับการออกแบบและพัฒนา  
ให้คำนวณการไหลเวียนของลมในระดับต่างๆ ของ  
ชั้นบรรยากาศโลก การคำนวณคุณสมบัติทางกายภาพ  
ของบรรยากาศ และคำนวณปริมาณน้ำฝน รังสี  
ดวงอาทิตย์ และปริมาณน้ำฝนเป็นตาราง (grid-based)  
แบบจำลองเหล่านี้มีพื้นฐานจากหลักวิทยาศาสตร์  
และการทางกายภาพธรร友善าศาสตร์

แนวทางที่สาม ใช้ข้อมูลสภาพอากาศในอดีตที่มีการเก็บได้แล้ว และมีสภาพคล้ายคลึงกับสภาพที่จะเป็นในอนาคตใช้ประกอบการคำนวณของแบบจำลอง วิธีการนี้มีข้อจำกัดที่ว่าการเปลี่ยนแปลงสภาพอากาศในอนาคตเกิดขึ้นในอัตราที่สูงมากกว่าเดิม และอาจจะเกิดเป็นระยะเวลาระหว่างหน่วยเดือนและอาจจะเป็นปีได้ นอกจากนี้สภาพอากาศที่เปลี่ยนแปลงโดยการเพิ่มขึ้นของความเข้มข้นของแก๊สเรือนกระจก แตกต่างจากการเปลี่ยนแปลงของสภาพอากาศที่เกิดจากการรับรังสีดวงอาทิตย์ (solar insolation)

**Table 1** Comparison of General Circulation Models (GCMs).

	General Circulation Models		
	GFDL	GISS	UKMO
Research Laboratory	Geographical Fluid Dynamics Laboratory	Goddard Institute for Space Studies	United Kingdom Meteorological Office
References	Wetherald & Manabe (1988)	Hansen et al. (1988)	Wilson & Mitchell (1987)
Horizontal resolution (Lat x long.)	4.44° x 7.5°	7.83° x 10.0°	5.00° x 7.5°
Horizontal resolution (no. of layers)	9	9	11
Base 1 x CO <sub>2</sub> (ppm)	300	300	323
Change in global temperature (°C)	+4.0	+4.2	+5.2
Change in global precipitation (%)	8	11	15

Source: (Matthews et al., 1997)

จุดประสงค์ของเอกสารนี้ เพื่อแสดงผลการศึกษาโดยให้รู้การที่สองและสามในการจำลองและประเมินผลกระบวนการเปลี่ยนแปลงสภาพภูมิอากาศที่มีต่อระบบการผลิตอ้อยของสองระบบนิเวศหลักของประเทศไทยที่จังหวัดขอนแก่นและจังหวัดเชียงใหม่ในช่วง 14 ปีข้างหน้า ระหว่าง (พ.ศ. 2549-2568) ค.ศ. 2006-2024 และเสนอแนวคิดในการดำเนินการเพื่อการปรับตัวให้เข้ากับสภาพอากาศดังกล่าว

### วิธีการศึกษา

#### ระบบการผลิตอ้อย

ข้อมูลการผลิตอ้อยและข้อมูลประชากรของห้องประเทศ ของจังหวัดขอนแก่น (ตัวแทนบ้านหินลาด ต.บ้านค้อ อ.เมือง จ.ขอนแก่น) และจังหวัดเชียงใหม่ (ตัวแทนบ้านห้วยแก้ว ต.แม่ແ蕨 อ.สันทราย จ.เชียงใหม่ ระหว่างปี 2529-2542 (URL1) ข้อมูลการผลิตอ้อยประกอบด้วยพื้นที่ปลูก พื้นที่เก็บเกี่ยว ผลผลิตอ้อยรวม และผลผลิตเฉลี่ยต่อไร่

#### ข้อมูลภูมิอากาศเกษตร

ข้อมูลภูมิอากาศเกษตรรายวัน (WTH) ระหว่างปี พ.ศ. 2529-2542 ที่มีการเก็บในแปลงทดลองหมวดพีชีร์ คณะเกษตรศาสตร์ มหาวิทยาลัยขอนแก่น และสถานวิจัยเกษตรชลประทาน ศูนย์วิจัยเพื่อเพิ่มผลผลิต

ทางเกษตร คณะเกษตรศาสตร์ มหาวิทยาลัยเชียงใหม่ ประกอบด้วยรังสีดวงอาทิตย์ อุณหภูมิสูงสุด-ต่ำสุด และปริมาณน้ำฝน เพื่อประกอบการคำนวณของแบบจำลองระบบการผลิตอ้อย ข้อมูลที่ใช้เป็นข้อมูลภูมิอากาศรายวันจัดเก็บในรูปแบบของ DSSAT3.5 (Tsuji et al., 1994)

#### ข้อมูลดิน

ข้อมูลดินยิโซธารและดินสตีกซิงเก็บตัวอย่าง ตามความลึกของชั้นดินในแปลงทดลองหมวดพีชีร์ คณะเกษตรศาสตร์ มหาวิทยาลัยขอนแก่น และสถานีวิจัยและวิจัยการเกษตรแม่เรียะ คณะเกษตรศาสตร์ มหาวิทยาลัยเชียงใหม่ ตามลำดับ

#### แบบจำลองอ้อย

แบบจำลองอ้อย DSSAT-CANEGRO ได้รับการพัฒนา โดยนักวิจัยในเครือข่าย IBSNAT (Tsuji et al., 1994; Hoogenboom et al., 2003) สามารถจำลองพัฒนาการ (Table 2) และการเจริญเติบโตของอ้อย ตามกระบวนการทางด้านสรีริยะของอ้อย โดยแบ่งออกเป็นส่วนของราก ลำต้น ใน น้ำตาล และในโตรเจนในส่วนต่างๆ ของอ้อย รวมทั้งพลวัตของน้ำในพืชและในดิน (Ritchie, 1998) และพลวัตของไนโตรเจนในพืชและในดิน (Godwin and Singh, 1998) เป็นแบบจำลองที่ได้รับการทดลองอย่างกว้างขวางทั้งในต่างประเทศและในประเทศไทย (อรรถชัย และคณะ, 2544)

Table 2 Developmental stages and biomass partitioning in DSSAT-CANEGRO 3.5.

Developmental stages	Descriptions	Partitioning
7	Planted	
8	50% Germination	
9	50% Emergence	Root
1	50% End of stalk juvenile phase	Root, Leaf
2	50% Begin panicle initiation	Root, Leaf, Stalk, Sucrose
3	50% End of leaf growth	Root, Leaf, Stalk, Sucrose
4	50% Begin seed growth	Root, Stalk, Sucrose
5	50% Physiological maturity	Root, Stalk, Sucrose
6	50% Harvested	

### แบบจำลองภูมิอากาศ CCAM

แบบจำลองสภาพอากาศ CCAM (Gordon and O'Farrell, 1997) เป็นแบบจำลองภัยภาพของบรรยายอากาศโลก มีความละเอียดของพื้นที่เล็กที่สุดขนาด  $1.875^{\circ}\text{EW} \times 1.875^{\circ}\text{NS}$  (lat. x long.) เป็นแบบจำลองสภาพอากาศชนิด spectral atmospheric GCM และเชื่อมโยงกับแบบจำลองสมุทรศาสตร์ GFDL (Watherald and Manabe, 1988) แบบจำลอง CCAM ใช้หลักการของ การเคลื่อนที่ของเมฆฝนแบบ cumulus แบบมวลเคลื่อนที่ที่พลวตสูง ตามหลักการ convection และจำลองการแลกเปลี่ยนอุณหภูมิ الدينและความชื้นโดยแบ่งดินออกเป็น 6 ชั้น

แบบจำลอง CCAM คำนวณ ค่ารังสีดูดอาทิตย์ อุณหภูมิสูงสุด-ต่ำสุด และปริมาณน้ำฝนของจังหวัด ขอนแก่นและจังหวัดเชียงใหม่ 2 ระยะ ระยะแรก ระหว่างปี พ.ศ. 2529-2542 เป็นการจำลองสภาพอากาศ (climate scenarios) โดยกำหนดให้ความเข้มข้นของ ก๊าซcarbon dioxide ได้ออกไซด์ ( $\text{CO}_2$  เรียกว่า  $1\times\text{CO}_2$  scenario) เป็น 330 ppm ระยะที่สองระหว่างปี พ.ศ. 2549-2568 (2006-2025) เป็นการจำลองสภาพอากาศโดยเพิ่มความเข้มข้นของ  $\text{CO}_2$  เป็น 660 ppm (เรียกว่า  $2\times\text{CO}_2$

scenario) และทำการปรับรูปแบบข้อมูลเพื่อแบบจำลอง การเจริญเติบโตของอ้อยซึ่งสามารถนำไปใช้ได้ โดยโปรแกรม WeaData 1.0 (ปราการ และ อรรถชัย, 2545)

### การจำลองระบบการผลิตอ้อย (Sugarcane simulation experimental design)

มีการจำลองสองแบบ (scenario) ได้แก่  $1\times\text{CO}_2$  และ  $2\times\text{CO}_2$  (Figures 1 และ 2 ตามลำดับ)

Scenario  $1\times\text{CO}_2$  ใช้ข้อมูลอากาศที่มีการวัดจริง (WTH) และข้อมูลอากาศจากแบบจำลองอากาศ CCAM ของขอนแก่น (KK) และเชียงใหม่ (CM) จำลองระบบการผลิตอ้อย K84-200 และคู่ท้อง 2 ในระหว่างปี พ.ศ. 2529-2542 ทั้งแบบใช้น้ำฝนอย่างเดียวและใช้น้ำชลประทานอย่างเต็มที่

Scenario  $2\times\text{CO}_2$  ใช้ข้อมูลอากาศจากแบบจำลองภูมิอากาศ CCAM ระหว่างปี พ.ศ. 2549-2568 ของจังหวัด ขอนแก่น (KK) และจังหวัดเชียงใหม่ (CM) จำลองระบบการผลิตอ้อย K84-200 และคู่ท้อง 2 แบบใช้น้ำฝนอย่างเดียวและใช้น้ำชลประทานอย่างเต็มที่พร้อมทั้งการจัดการปุ๋ยในต่อเนื่อง

Simulation setting scenario 1: 1986-1999

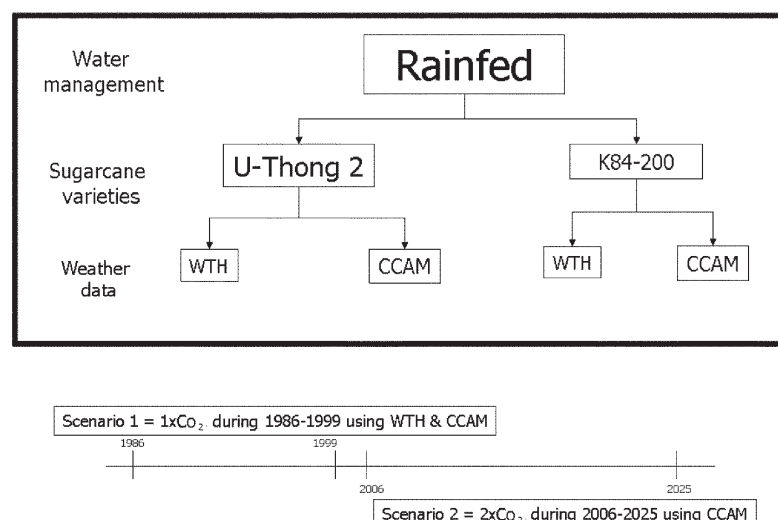


Figure 1 Sugarcane simulation settings for Chiang Mai and Khon Kaen during 1992-1999 (2535-2542).

## Simulation setting scenario 2: 2006-2025

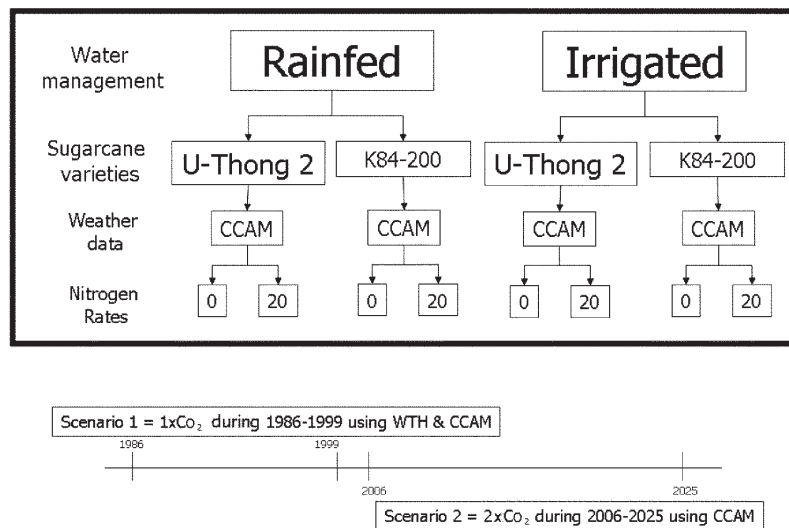


Figure 2 Sugarcane simulation settings for Chiang Mai and Khon Kaen during 2006-2025 (2549-2568).

## ກາຮົວເຄະຫຼາດຂໍ້ວາມແຕກຕ່າງ

ເພື່ອປະເມີນຂໍ້ວາມແຕກຕ່າງຂອງຜູລຜົດທີ່ໄດ້ຈາກ  
ກາຮົວເຄະຫຼາດຂອງແບບຈຳລອງຂໍ້ອຍ DSSAT-CANEGR0  
ໂດຍໃຊ້ຂໍ້ວາມມູລຄຸມອາກາສຈາກກາຮົວຈິງ (WTH) ແລະຈາກ  
ແບບຈຳລອງອາກາສ (CCAM) ຈຶ່ງໃຊ້ຄ່າ RMSE (Root Mean  
Square Error =  $[(\text{simulated}-\text{observed})^2/N]^{1/2}$ ) ຄ່າ RMSE  
ແສດງຖືກການເກະດ້ວຍຫຼືກາງກະຈາຍດ້ວຍຄ່າທີ່ໄດ້ຈາກ  
ແບບຈຳລອງ (simulated) ແລະຄ່າທີ່ໄດ້ຈາກກາຮົວຈິງ  
ຂອງຮະບບກາຮົວຜູລຜົດ (observed) ຄ່າ RMSE ແສດການ  
ກະຈາຍດ້ວຍຄ່າຜູລຜົດຂໍ້ອຍທີ່ໄດ້ຈາກຊຸດຂໍ້ວາມມູລອາກາສ  
WTH ແລະຊຸດຂໍ້ວາມມູລອາກາສ CCAM ເມື່ອເຫັນກັບຂໍ້ວາມມູລ  
ຜູລຜົດຂໍ້ອຍທີ່ມີກາງສໍາວັດແລະຮາຍງານໂດຍສໍານັກງານ  
ເສດຖະກິນກາຮົວຈິງຂອງ 2 ຈັງหวັດໃນຮ່ວມງານປີ  
ພ.ສ. 2535-2543 (OAE: Office of Agricultural Economic)  
ສ່ວນຄ່າ MD ແສດຖືກການສໍານັກງານຂອງແບບຈຳລອງວ່າ  
ຄາດກາຮົນເກີນຂໍ້ວາມຈິງ (overestimate) ພ້ອມຍົກກວ່າ  
ຂໍ້ວາມຈິງ (underestimate) ເມື່ອເຫັນກັບຄ່າທີ່ໄດ້ຈາກກາ  
ຮົວຈິງຂອງຮະບບກາຮົວຜູລຜົດ (observed) ກລ່າວເກືອ  
ທາງໄດ້ຄ່າ MD ເປັນລົບໝາຍຖືກການຈຳລອງຂໍ້ອຍທີ່ໃຫ້  
ຂໍ້ວາມມູລອາກາສຊຸດນັ້ນ ດຳນວນຜູລຜົດຂໍ້ອຍໄດ້ນົກກວ່າ  
ຜູລຜົດຂໍ້ອຍ OAE

## ຜົນການສຶກໜາ

## ກາຮົວເຄະຫຼາດຂໍ້ວາມແຕກຕ່າງ

ໃນປີ ພ.ສ. 2536 ມີພື້ນທີ່ຮ່ວມທັງສິນ 5.36 ລ້ານໄຣ  
ແປ່ງເປັນພື້ນທີ່ປຸງອ້ອຍໃນການກາລົງ ການເຫັນ  
ກະຕະວັນອອກເຈິ່ງເໜືອປະມານ 2.78, 1.17, ແລະ 1.41  
ລ້ານໄຣ ຕາມລຳດັບ ໃນປີ ພ.ສ. 2543 ມີພື້ນທີ່ຮ່ວມທັງສິນ  
5.42 ລ້ານໄຣ ແປ່ງເປັນພື້ນທີ່ປຸງອ້ອຍໃນການກາລົງ  
ການເຫັນ ແລະກະຕະວັນອອກເຈິ່ງເໜືອປະມານ 2.25,  
1.18, ແລະ 1.99 ລ້ານໄຣ ຕາມລຳດັບ (Figure 3) ພື້ນທີ່  
ປຸງອ້ອຍທັງປະເທດມີແນວໃນມີເພີ່ມຂຶ້ນໂດຍເຂົາພາບໃນພື້ນທີ່  
ກະຕະວັນອອກເຈິ່ງເໜືອ ດ້ວຍສາເຫຼຸ້າຫຼັກກື້ອງ ການເພີ່ມຂຶ້ນ  
ຂອງໂຮງງານນໍ້າຕາລ ແລະຄວາມເໝາະສົມໃນດ້ານສົກພ  
ພື້ນທີ່ກາຮົວເຄະຫຼາດ

ກາຮົວເຄະຫຼາດຂໍ້ວາມແຕກຕ່າງຂອງປະເທດໄທພື້ນທີ່ສ່ວນໃຫຍ່  
ເປັນກາຮົວເຄະຫຼາດແບບອາກົດນໍ້າຝານໃຊ້ຕັນທຸນກາຮົວເຄະຫຼາດຕໍ່  
ຜູລຜົດຂໍ້ວາມຕໍ່ໄວ້ຂອງທັງປະເທດ ຈັງหวັດຂອນແກ່ນ  
ແລະຈັງหวັດເຫັນຈຶ່ງແສດງໃນງູປ 2 ຕັ້ງແຕ່ປີ ພ.ສ. 2535  
ຜູລຜົດຂໍ້ວາມຂອງທັງປະເທດມີແນວໃນມີເພີ່ມຂຶ້ນຈາກ  
ປະມານ 7.0 ຕັນໄຣ/ປີ ໃນປີ ພ.ສ. 2535 ເປັນປະມານ  
9.0 ຕັນໄຣ ທັງນີ້ຈະມາຈາກການໃຊ້ພັນຊື້ຂໍ້ວາມທີ່ແລະ

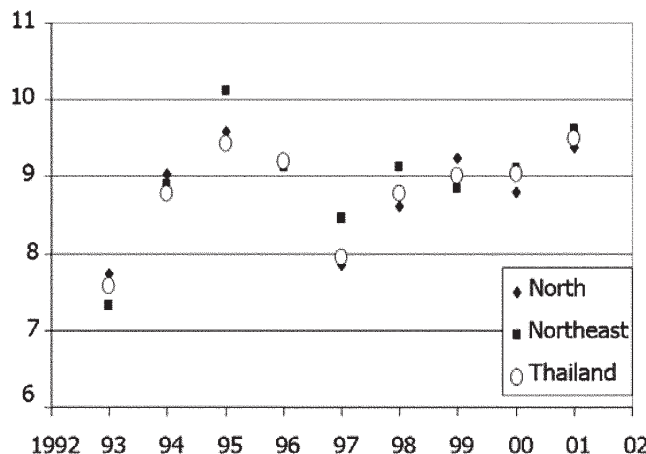


Figure 3 Reported averaged sugarcane yield (Tonnes/rai) in North, Northeast regions, and Thailand during 1992-2001 (B.E. 2535-44).

Source : Office of Agricultural Economic (<http://www.oae.go.th>).

ເໝາະສົມຕ່ອສພາພື້ນທີ່ແລະມີການຈັດກາຮັດຜິດທີ່ເໝາະສົມ  
ຮ້ວມທັງມີການໃຊ້ເຄື່ອງຈັກກລ່ຽມເກີບເກີຍເພີ່ມຂຶ້ນ

#### ປົມານຸ່ນຮ່ວງປີ ພ.ສ. 2549-2568

ແບບຈຳລອງກຸນົມອາກັດ CCAM ດາວກາຮັນປົມານຸ່ນ  
ຮ່ວງປີ ພ.ສ. 2549-2563 (scenario 2) ຂອງຈັງໜວດ  
ເຊີ່ຍ່າຍື່ນແລະຈັງໜວດຂອນແກ່ນໄດ້ສູງກວ່າປົມານຸ່ນໜໍ່ຳໝັ້ນ  
ທີ່ໄດ້ຮັບໃນໜ່ວງປີ ພ.ສ. 2529-2542 (scenario 1) ອ້ອຍລະ 55  
ແລະ 19 ຄື່ອ ຈາກ 1,761 ມມ. ເປັນ 1,132 ມມ. ແລະ  
1,314 ມມ. ເປັນ 1,105 ມມ. ຕາມລຳດັບ ທີ່ໃຫ້ເຫັນວ່າ  
ກາຮັດຜິດອ້ອຍຂອງທັງສອງພື້ນທີ່ອາຈປະສົບປ່ຽນຫາກມີ  
ນໍາມາກເກີນໄປສໍາຮັບພື້ນທີ່ຈາກລຸ່ມ ດີງລຳດັບທີ່ໄມ້ອາຈ  
ທຳກາຮັດຜິດອ້ອຍໄດ້ທາກມີຮະຍະເວລາກາຮັດທ່ວມໜັງເປັນ  
ຮະຍະຍາວ ອາຈຈະທີ່ອຳນວຍກາຮັດຜິດອ້ອຍຈາກພັນນີ້  
ປັດຈຸບັນ ເປັນອ້ອຍທີ່ສາມາຮັກທານໄດ້ກັບກວະດັກລ່າວ

#### ເປົ້າຍບໍ່ເຫັນຜິດຜົນອ້ອຍ ພ.ສ. 2528-42 (scenario 1: $1\times CO_2$ )

ແບບຈຳລອງອ້ອຍດຳນວນຜິດຜົນອ້ອຍຂອງທັງສອງ  
ຈັງໜວດໂດຍໃຫ້ຂໍ້ອຸນຸມລົມອາກັດແບບ WTH ແລະ CCAM  
ມີແນວໂນັ້ນໄປໃນທາງເດືອກກັນ ຖຸກແບບກາຮັດຜິດອ້ອຍ

(Table 3) ດີ້ວ່າສູງກວ່າຜິດຜົນ OAE ທັງສອງຈັງໜວດ  
ເນື່ອງດ້ວຍແບບຈຳລອງອ້ອຍຍັງໄວ້ໄດ້ມີການດຳນວນ  
ກາຮັດຜິດຜົນສູງເຊີ່ຍ່າຍື່ນແລະກຳມະນຸດກົມ້ວູ້ອ້ອຍ  
ແລະພບວ່າເນື່ອໃຫ້ຂໍ້ອຸນຸມລົມອາກັດຈຳລອງກົມ້ວູ້ອ້ອຍ  
CCAM ດີ້ວ່າມີການຂາດນໍ້າໃນຮະຍະສິ້ນສຸດກາຮັດຜິດຜົນໃນ  
ຄື່ງຮະຍະເຮີ່ມຕົ້ນກາຮັດຜິດຜົນ ແລະພບວ່າຊຸດດິນທັງສອງ  
ຂອງສອງຈັງໜວດມີກາຮັດຜິດຜົນນໍ້າໃນປົມານຸ່ນສູງມາກ ດີ້ວ່າ  
ມີອັດກາຮັດຜິດຜົນນໍ້າເປັນ 46 ແລະ 307 ມມ. ທີ່ຈັງໜວດ  
ຂອນແກ່ນ ແລະ 103 ແລະ 418 ມມ. ທີ່ຈັງໜວດເຊີ່ຍ່າຍື່ນ  
ຕາມລຳດັບ

ກາຮັດຜິດຜົນທີ່ໄດ້ຈຳລອງຈຳລອງອ້ອຍທີ່ໄດ້ຈຳລອງຈຳລອງ  
ອ້ອຍເນື່ອໃຫ້ຂໍ້ອຸນຸມລົມອາກັດທັງສອງຊຸດໂດຍໃຫ້ຄ່າ RMSE  
ພບວ່າຄ່າກາຮັດຜິດຜົນທີ່ໄດ້ຈຳລອງຈຳລອງແບບຈຳລອງອ້ອຍ  
ທີ່ໄດ້ກັບກົມ້ວູ້ອ້ອຍກົມ້ວູ້ອ້ອຍແລະກຳມະນຸດກົມ້ວູ້ອ້ອຍ  
ໃຫ້ພັນແລະໃຫ້ຂໍ້ອຸນຸມລົມອາກັດ CCAM ເນື່ອຈາກ  
ສາເຫຼຸດທີ່ໄດ້ກັບກົມ້ວູ້ອ້ອຍ

ກາຮັດຜິດຜົນທີ່ໃຫ້ເຫັນວ່າສາມາຮັດໃຫ້ແບບຈຳລອງ  
ອ້ອຍໃນກາຮັດຜິດຜົນທີ່ອາຈຈະມີຕ່ອງກາຮັດຜິດຜົນ  
ອ້ອຍທັງສອງພັນນີ້ ໃຫ້ໃນໜ່ວງ scenario 2- $2\times CO_2$  ເນື່ອຈາກ  
ຄວາມເສົ້າຍກາພາຂອງແບບຈຳລອງອ້ອຍ ແລະ ຂໍ້ອຸນຸມ  
ລົມອາກັດທີ່ໄດ້ຈຳລອງຈຳລອງຈຳລອງອ້ອຍ

**Table 3** Comparison of simulated sugarcane yield (kg/rai) at Khon Kaen and Chiang Mai, using WTH and CCAM weather data sets and reported statistics from OAE (Office of Agricultural Economic).

Provinces	Sugarcane varieties	WTH	CCAM	OAE
Khon Kaen	K84-200	24,825.0	25,684.0	8,996
	U-thong 2	25,788.0	27,104.0	8,996
Chiang Mai	K84-200	25,561.0	26,709.0	8,774
	U-thong 2	26,854.0	28,272.0	8,774
	RMSE	16,890.9	18,084.7	

**ເບີໂທບໍລິຫານພລິຕອ້ອຍ ພ.ສ. 2549-2568  
(Scenario 2: 2xCO<sub>2</sub>)**

ແບບຈຳລອງຂໍ້ມູນ DSSAT-CANEPRO คำນວນພລິຕອ້ອຍຂອງທັງສອງຈັງຫວັດໄປໃນທາງເດືອກກັນທຸກແບບກາຮົດພລິຕອ້ອຍ (Table 4) ໂດຍໃຊ້ຂໍ້ມູນລົງມີມາກາສຈາກແບບຈຳລອງ CCAM ທີ່ຈັງຫວັດຂອນແກ່ນ ກາຮົດພລິຕອ້ອຍແບບາສັຍນໍາຝານແລະໃຊ້ປຸ່ມໃນໂຕຣເຈນໃຫ້ພລິຕອ້ອຍທັງສອງພັນຖຸສູງຂຶ້ນຕາມອົດຮູ່ປຸ່ມທີ່ເພີ່ມ ແຕ່ໃນອ້ອຍພັນຖຸໆທອງ 2 ມີອົດຮູ່ກາຮົດພລິຕອ້ອຍໃນອົດຮູ່ທີ່ສູງກວ່າອົດຮູ່ກາຮົດພລິຕອ້ອຍ K84-200 ຕີ່ມີອົດຮູ່ກາຮົດພລິຕອ້ອຍຍູ້ໃນຫ່ວງຮະຫວ່າງ 72 ແລະ 83 ກິໂລກຣັນອ້ອຍຕ່ອງກິໂລກຣັນຂອງປຸ່ມໃນໂຕຣເຈນທີ່ໃຊ້ສໍາຮັບກາຮົດພລິຕອ້ອຍທັງສອງພັນຖຸແບບເຫັນໜ້າໜຸລປະທານທີ່ໃຫ້ພລິຕອ້ອຍທັງສອງພັນຖຸພື້ມຂຶ້ນ 307 ແລະ 282 ກິໂລກຣັນໜ້າໜຸລປະທານທີ່ໃຫ້ພລິຕອ້ອຍທັງສອງພັນຖຸພື້ມຂຶ້ນ 290 ແລະ 254 ກິໂລກຣັນອ້ອຍຕ່ອງກິໂລກຣັນຂອງປຸ່ມໃນໂຕຣເຈນຕາມລຳດັບ

ທີ່ຈັງຫວັດເຊິ່ງໃໝ່ກາຮົດພລິຕອ້ອຍແບບາສັຍນໍາຝານແລະໃຊ້ປຸ່ມໃນໂຕຣເຈນໃຫ້ພລິຕອ້ອຍທັງສອງພັນຖຸສູງຂຶ້ນຕາມອົດຮູ່ປຸ່ມທີ່ເພີ່ມ ໂດຍໃນອ້ອຍພັນຖຸ K84-200 ມີອົດຮູ່ກາຮົດພລິຕອ້ອຍໃນອົດຮູ່ທີ່ສູງກວ່າອົດຮູ່ກາຮົດພລິຕອ້ອຍເພີ່ມຂຶ້ນຂອງພັນຖຸໆທອງ 2 ຕີ່ມີອົດຮູ່ກາຮົດພລິຕອ້ອຍຍູ້ໃນຫ່ວງຮະຫວ່າງ 20 ແລະ 16 ກິໂລກຣັນອ້ອຍຕ່ອງກິໂລກຣັນຂອງປຸ່ມໃນໂຕຣເຈນທີ່ໃຊ້ສໍາຮັບກາຮົດພລິຕອ້ອຍທັງສອງພັນຖຸແບບເຫັນໜ້າໜຸລປະທານອ້ອຍຍູ້ທອງ 2 ແລະອ້ອຍພັນຖຸ K84-200 ທຳໄໝໃຫ້ພລິຕອ້ອຍທັງສອງພັນຖຸພື້ມຂຶ້ນ 290 ແລະ 254 ກິໂລກຣັນອ້ອຍຕ່ອງກິໂລກຣັນຂອງປຸ່ມໃນໂຕຣເຈນຕາມລຳດັບ

ກາຈຳລອງຮະບບກາຮົດພລິຕອ້ອຍໂດຍໃຊ້ວິທີການນີ້ໃນສ່ວນກາຮົດພລິຕອ້ອຍທີ່ມີມາກາສເປີດຢືນແປງກາຮົດພລິຕອ້ອຍແລະກາຮົດພລິຕອ້ອຍໃນທັງສອງຮະບບນິເວສຄວຣໃຫ້ທັງສອງແນວທາງໃນກາຮົດພລິຕອ້ອງກິໂລກຣັນຂອງປຸ່ມໃນໂຕຣເຈນ (Integrated

**Table 4** Simulated sugarcane yield (kg/rai) averaged over 20 years period (2549-2568 or 2006-2025) at Khon Kaen and Chiang Mai, using weather data from CCAM model.

	Rainfed		Irrigated	
	N-fertilizer rate (kg/rai)		N-fertilizer rate (kg/rai)	
	0	20	0	20
kg/rai				
Khon Kaen				
U-thong 2	5,428	6,876	14,750	20,889
K84-200	5,388	7,049	13,601	19,246
Chiang Mai				
U-thong 2	3,524	3,848	18,706	24,512
K84-200	3,522	3,922	17,459	22,542
RMSE	1,131.44		5,681.11	

Nutrients Management System: INMS) กล่าวคือ ควรใช้ทั้งปุ๋ยพืชสดร่วมกับปุ๋ยเคมีในอัตราที่เหมาะสมสามารถปฏิบัติได้ และเหมาะสมต่อความต้องการและสภาพแวดล้อมที่ต้องการด้วย ในกรณีที่เกษตรกรสามารถผลิตปุ๋ยพืชสดได้เองจะทำให้การพึ่งพาปุ๋ยเคมีลดลงด้วย

อย่างไรก็ตาม การเพิ่มขึ้นของระดับอุณหภูมิอากาศ ทำให้การระบาดของโรค-แมลงศัตรูอ้อยเพิ่มขึ้น และอาจจะมีความรุนแรงมากขึ้น แต่แบบจำลองอ้อย DSSAT-CANEGRO รุ่นปัจจุบันยังไม่ได้นำเอาปัจจัยดังกล่าวเข้ามาประกอบการคำนวณผลผลิตอ้อย ซึ่งต้องมีการพัฒนาต่อไป

### สรุปและวิจารณ์

การใช้แบบจำลองอ้อยซึ่งเป็นส่วนหนึ่งของโปรแกรม DSSAT 3.5 และแบบจำลองภูมิอากาศ CCAM สามารถจำลองและประเมินผลกระทบของการเปลี่ยนแปลงสภาพภูมิอากาศที่อาจจะเกิดขึ้นกับการผลิตอ้อยได้โดยใช้วิธีการที่สองและสามดังที่กล่าวในตอนต้น ผลการศึกษาแสดงให้เห็นว่าการผลิตอ้อยในสองระบบนิเวศได้รับผลกระทบต่อการเปลี่ยนแปลงภูมิอากาศ ในระหว่างปี พ.ศ. 2549-2563 ระบบการผลิตอ้อยของทั้งสองจังหวัดมีแนวโน้มที่จะได้ผลผลิตไม่น้อยกว่าช่วงที่ผ่านมา และพบว่ามีปริมาณน้ำฝนมากกว่าระดับที่เคยได้รับ อย่างไรก็ตามแบบจำลองอ้อยยังต้องได้รับการพัฒนาเพิ่มเติมเพื่อให้สามารถคาดการณ์ผลวัตถุของระบบการผลิตอ้อยโดยพิจารณาผลวัตถุของก้าชเรือนกระจก เน่น ก้าชมีเทน ผลวัตถุของโรคแมลงในภาวะอากาศอนาคต และพัฒนาการของพันธุ์อ้อยในอีก 20 ปีข้างหน้า

### ข้อจำกัดของแบบจำลองภูมิอากาศ CCAM

แบบจำลองภูมิอากาศ CCAM เป็นแบบจำลองที่มีขนาดของดาวาระพื้นผิวโลกในแนวนอนขนาด  $1.875^{\circ}\text{EW} \times 1.875^{\circ}\text{NS}$  (lat. x long.) ยังต้องปรับปรุงให้มีความละเอียดเพิ่มขึ้นโดยวิธีการทางสถิติ นอกจากนี้

ยังมีความไม่แน่นอนเกี่ยวกับการคาดการณ์อัตราการเปลี่ยนแปลงของบรรยายกาศโลก กระบวนการเครื่องเลื่อนที่ของความร้อนในมหาสมุทรเป็นส่วนสำคัญที่ต้องทำการศึกษาเพิ่มเติมในด้านวิทยาศาสตร์เพื่อนำองค์ความรู้ที่ได้มาใช้ในการปรับปรุงแบบจำลอง นอกจากนี้การใช้ scenario 2 ซึ่งให้มีการเพิ่มขึ้นของความเข้มข้นของก้าชควรบอนไดออกไซด์อย่างทันทีในปี พ.ศ. 2549 (2006) นั้นอาจจะไม่สะท้อนความเป็นจริง เนื่องจากความเข้มข้นของก้าชเรือนกระจกในชั้นบรรยายกาศเพิ่มขึ้นอย่างต่อเนื่องและค่อยเป็นค่อยไป

### ข้อจำกัดของแบบจำลองอ้อย DSSAT-CANEGRO

แบบจำลองอ้อย DSSAT-CANEGRO รุ่นที่ใช้งานเป็นรุ่น 3.5 เป็นแบบจำลองกระบวนการต่างๆ ที่เกิดในพืชและดิน เป็นแบบจำลองที่พิจารณาระบบการผลิตเป็นจุด (point-based) กล่าวคือเป็นแปลงผลิตพืช-อ้อย-ที่มีความสำเร็จในด้านการจัดการผลิต สภาพทางเคมีและกายภาพของดิน นอกจากนี้ในแบบจำลองยังต้องพัฒนากระบวนการที่ช่วยการจำลองผลวัตถุของราดุอาหารพืชอีกด้วยตัวที่สำคัญ เช่น ผลวัตถุของราดุฟอสฟอรัส และราดุตูโปแตสเซียม เป็นต้น โดยเฉพาะในสภาพการผลิตที่มีปริมาณน้ำฝนมากขึ้นกว่าปัจจุบัน ซึ่งคาดว่าจะมีการระบาดมากขึ้นกว่าระดับปัจจุบันหลายเท่าตัว รวมทั้งผลวัตถุและการเปลี่ยนแปลงของสภาพการระบาดของโรคแมลงศัตรูอ้อย

### คำขอบคุณ

ผศ.ดร. อานันท์ สนิทวงศ์ ณ อยุธยา และ START (Global Change SysTem for Analysis, Research and Training มีรายละเอียดที่เว็บไซต์ <http://www.start.or.th>) ที่ช่วยประสานงานด้านข้อมูลกับ Dr. John McGregor ณ ศูนย์วิจัยบรรยายกาศของ CSIRO คุณศรินทิพย์ พรหมฤทธิ์ ช่วยเตรียมข้อมูลการผลิตอ้อยในสองจังหวัด จากเอกสารและเว็บไซต์ของสำนักงานเศรษฐกิจการเกษตร และคุณปราการ ศรีงาม เพิ่มความสามารถในการแปลงข้อมูลอากาศที่ได้จากแบบจำลองอากาศ CCAM ให้อยู่ในรูปแบบของ ICASA โดยใช้โปรแกรม WeaData 1.0

## ເອກສາຮອ້າງອີງ

ປະກາດ ສේງມ ແລະ ອරດ්ං ຈິນຕະເວີຊ. 2545. ຜູ້ມີກາຣີໃໝ່ງນາມ ໃປງແກຣມຈັດກາຣ້ອ່ມມູນງານອາກາສ WeaData 1.0. ແນ້ວ 353-384. ໃນ ອຽບຮ່າຍ ຈິນຕະເວີຊ ແລະ ສ්ට්‍රින් ທිප්පි ພຣහມຖົ່ງ (ບຣණາທີກາຣ). ຮາຍງານອັບສໍາມູ້ຮຸນ ໂຄງກາຣວິຈີຍ ກາຣປະມານພລົດືດອ້ອຍດ້ວຍແບບຈຳລອງຄອນພິເຕອຣ. ສູນຍົວິຈີຍເພື່ອເພີ່ມພລົດືດທາງເກະຫຍາ ຄະນະເກະຫຍາຕາສຕ່ລົມ ມາຫວິທາລັບເຂົ້າໃໝ່, ເຂົ້າໃໝ່.

ອຽບຮ່າຍ ຈິນຕະເວີຊ, ວິນຍ ຕຣວັດ, ກ້ອນທອງ ພວບປະໂດນ, ທັສ້າຍ ບຸນູຈຸງ, ເກົກ ປັ້ນເໜ່ງເພົ່ງ, ພົມມັກດີ ພຣහມບຸນູມຍ ແລະ ປະບົບປັບປຸງ ພຣາຮມນີ້ຍ. 2544. ແບບຈຳລອງຮະບບາກາຣົດືດພື້ນ ກັບຈານວິຈີຍຮະບບາກາຣົດືດພື້ນ. ເອກສາຮອ້າງອີງໃນກາຣສັນນາ ຈະບັບເກະຫຍາແໜ່ງໜາດ ຄັ້ງທີ 1 ກຽງເທິພາ 15-17 ພ.ບ. 2543.

Gordon, H.B., and S.P. O'Farrell. 1997. Transient climate change in the CSIRO global coupled model with dynamical sea ice. Mon. Wea. Rev. 125: 875-907.

Gordon, H.B., L.D. Rotstayn, J.L. McGregor, M.R. Dix, E.A. Kowalczyk, S.P. O'Farrell, L.J. Waterman, A.C. Hirst, S.G. Wilson, M.A. Collier, I.G. Watterson, and T.I. Elliott. 2002. The CSIRO CCAM Climate System Model. CSIRO Atmospheric Research Tech. Paper No. 60. 134 pp.

Hansen, J., I. Fung, A. Lacis, D. Rind, S. Lebedeff, R. Ruedy, and G. Russell. 1988. Global climate changes as forecast by Goddard Institute for space studies three-dimensional model. J. Geophys. Res. 93: 9341-9364.

Hoogenboom, G., J.W. Jones, C.H. Porter, P.W. Wilkins, K.J. Boote, W.D. Batchelor, L.A. Hunt, and G.Y. Tsuji. 2003. Decision Support System for Agrotechnology Transfer Version 4.0. Volume 1: Overview. University of Hawaii, Honolulu, Hawaii.

Houghton, J., and D. Yihui. 2001. Climate Change 2001: The Scientific Basis. Cambridge University Press, New York.

- IPCC, 2001. Climate Change 2001: Synthesis Report. A Contribution of Working Groups I, II, and III to the Third Assessment Report of the Intergovernmental Panel on Climate Change [Watson, R.T. and the Core Writing Team (eds.)]. Cambridge University Press, NY.
- Lal, M., K. K. Singh, L. S. Rathore, G. Srinivasan, and S. A. Saseendran. 1998. Vulnerability of sugarcane and wheat yields in NW India to future changes in climate. Agricultural and Forest Meteorology. 89: 101-114.
- Matthews, R. B., M. J. Kropff, T. Horie, and D. Bachelet. 1997. Simulating the impact of climate change on rice production in Asia and evaluating options for adaptation. Agricultural Systems. 54: 399-425.
- Olszyk, D.M., H. G. S. Centeno, L. H. Ziska, J. S. Kern, and R. B. Matthews. 1999. Global climate change, sugarcane productivity and methane emissions: Comparison of simulated and experimental results. Agricultural and Forest Meteorology. 97: 87-101.
- Ritchie, J.T. 1998. Soil water balance and plant water stress, p. 41-54. In: G.Y. Tsuji, G. Hoogenboom, and P.K. Thornton (eds.). Understanding Options for Agricultural Production. Kluwer Aca. Pub., London.
- Tsuji, G.Y., G. Uehara, and S. Balas. 1994. DSSAT v3. University of Hawaii, Honolulu, Hawaii.
- van Vuuren, D.P., and H.J.M. de Vries. 2002. Mitigation scenarios in a world oriented at sustainable development: the role of technology, efficiency and timing. Climate Policy 1:189-210.
- Wetherald, R.T., and S. Manabe. 1988. Cloud feedback processes in a general circulation model. J. Atmos. Sci. 45: 1397-1415.
- Wilson, C.A., and J.F.B. Mitchell. 1987. A doubled CO<sub>2</sub> climate sensitivity experiment with a GCM including a simple ocean. J. Geophys. Res. 92: 13315-13343. Available at: <http://www.oae.go.th/>